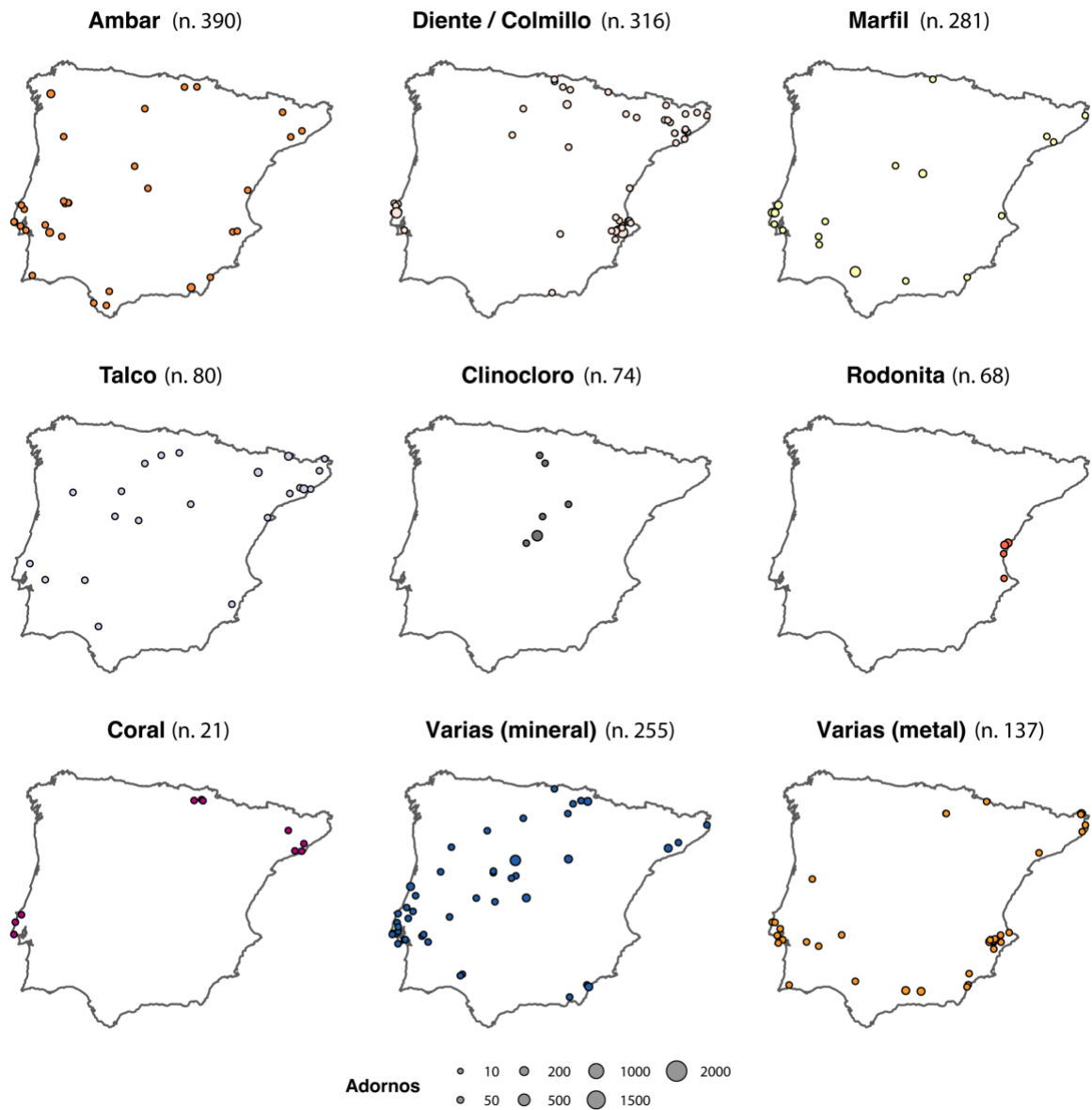
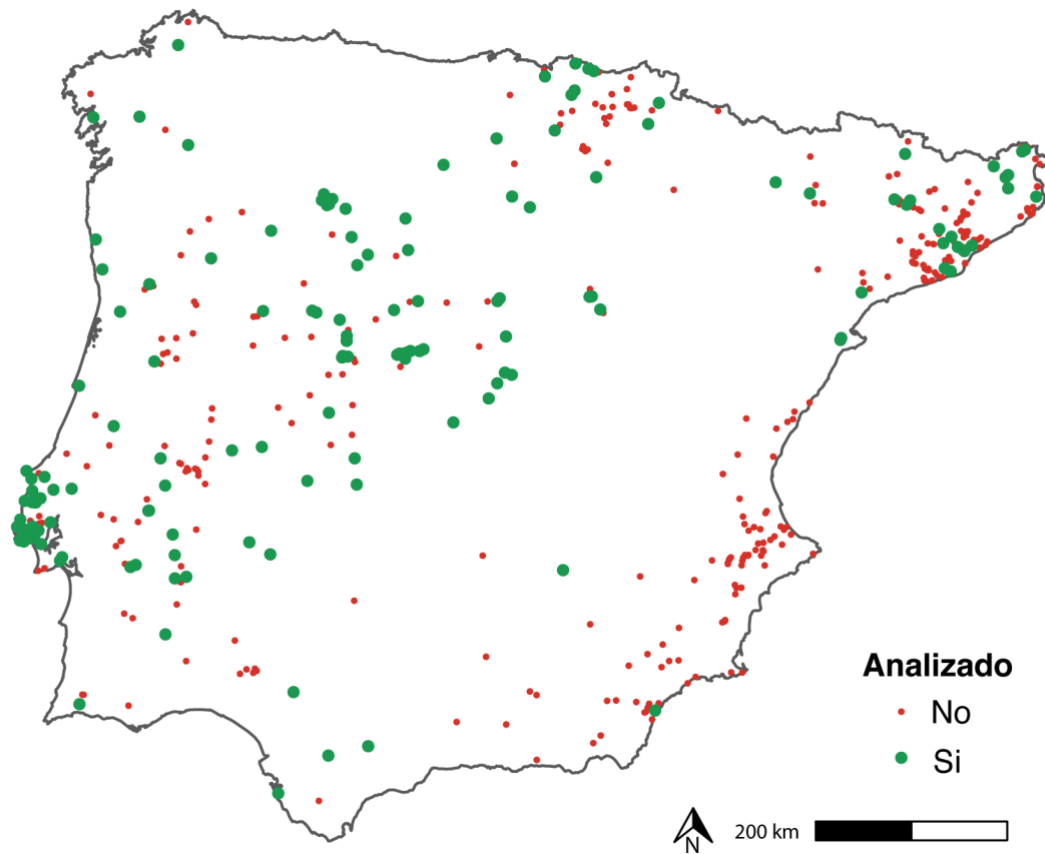


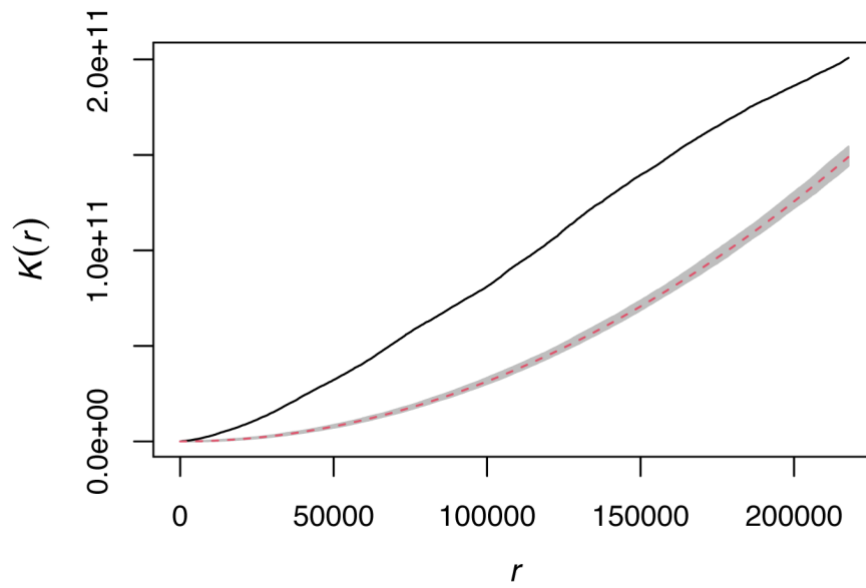
MS 01. Número de piezas y distribución geográfica de los adornos fabricados en distintas materias primas que acompañan a las cuentas y colgantes de piedra verde recuperados en yacimientos de la Península Ibérica con una cronología de la Prehistoria Reciente.



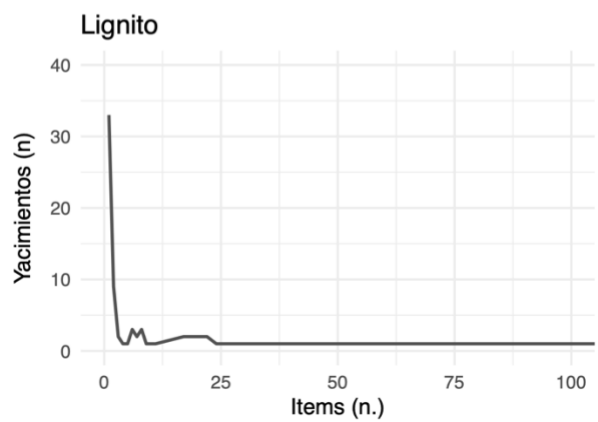
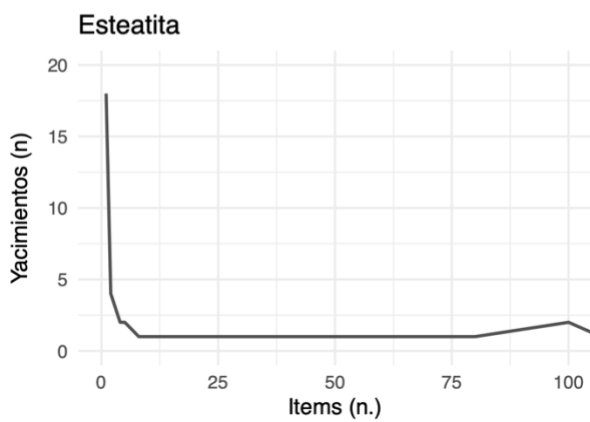
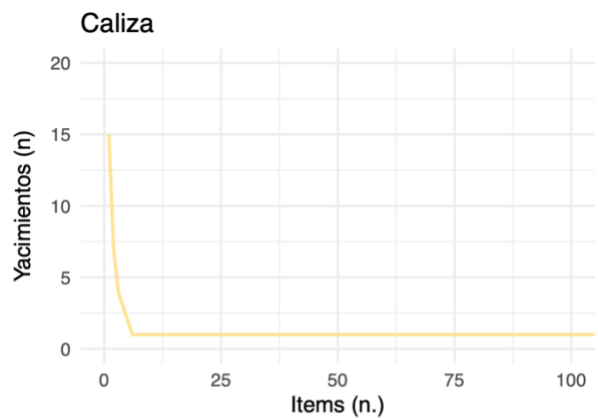
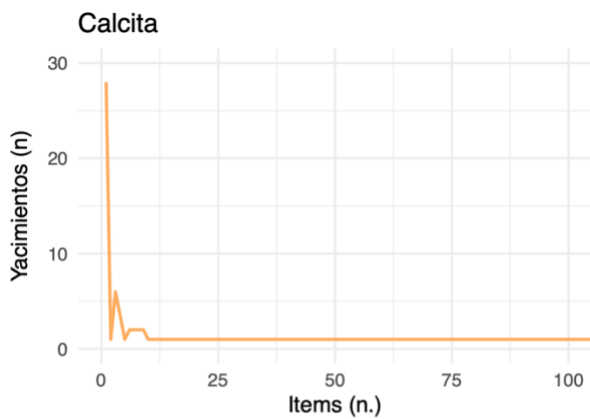
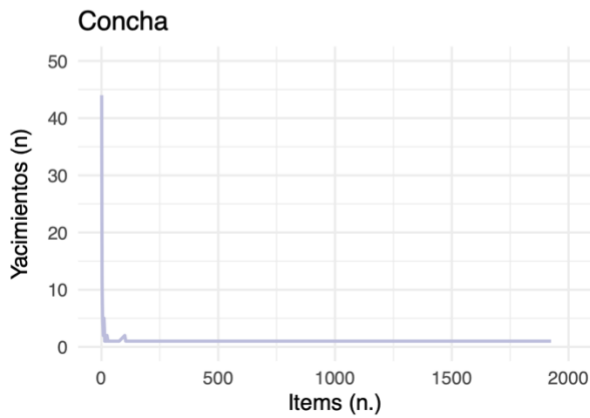
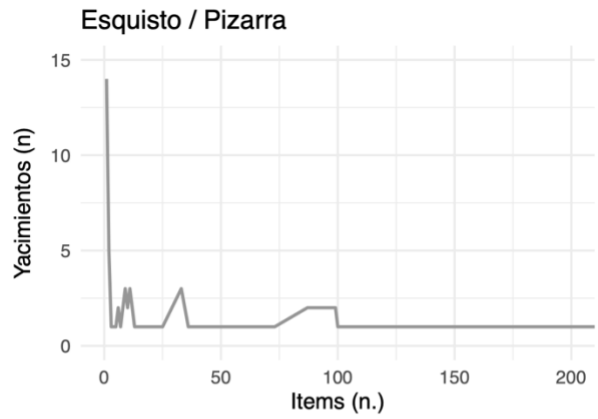
MS 02. Número de piezas y distribución geográfica de los adornos fabricados en distintas materias primas que acompañan a las cuentas y colgantes de piedra verde recuperados en yacimientos de la Península Ibérica con una cronología de la Prehistoria Reciente.



MS 03. Yacimientos con adornos de piedra verde en el que al menos una de sus piezas dispone de análisis de composición.



MS 04. Análisis de la K de Ripley en la que se muestra cómo la población real de yacimientos con adornos fabricados en piedra verde (línea negra) se ubica por encima de los valores de las 999 poblaciones aleatorias (línea roja intermitente y su intervalo de confianza), indicando así que la distribución espacial es concentrada.



MS 05. Distribución del número de yacimientos con relación a la cantidad de ítems de adorno fabricados en diversas materias primas que fueron recuperados en cada uno de ellos.

Variables	Cronología	Métricas	estimate	p.value	statistic	Correlación
Adornos verdes (n.)	5600-4200	authority	-0,223061	0,2447858	4965,627	
		betweenness	0,1601412	0,4066361	3409,8269	
		closeness	0,0052726	0,978344	4038,5931	
		clustering	-0,160141	0,4066361	4710,1731	
		degree	-0,085354	0,659769	4406,5375	
		eccentricity	-0,042181	0,8280083	4231,2552	
		eigenvector	-0,075632	0,6965856	4367,0653	
		hub	-0,201138	0,2954417	4876,6219	
		indegree	0,017927	0,9264594	3987,2165	
		outdegree	-0,23516	0,2194549	5014,7479	
		pagerank	-0,185308	0,3358556	4812,3487	
		radiality	-0,004218	0,9826744	4077,1255	
		status	-0,089907	0,6427834	4425,0243	
		stress	0,1601412	0,4066361	3409,8269	
	4200-3500	authority	0,0905941	0,2471755	680835,81	
		betweenness	0,0843139	0,2816067	685537,54	
		closeness*	0,1588738	0,0415279	629717,53	Positiva débil
		clustering	0,0084364	0,9143559	742343,99	
		degree	0,0983829	0,2086824	675004,62	
		eccentricity	0,1232551	0,1147439	656383,82	
		eigenvector	0,1004477	0,1992418	673458,81	
		hub	0,094635	0,226631	677810,56	
		indegree	0,0976372	0,2121699	675562,94	
		outdegree	0,0874739	0,2638987	683171,78	
		pagerank	0,0192279	0,8063543	734264,84	
		radiality	0,1386475	0,0757315	644860,13	
		status	0,1133343	0,1472224	663811,12	
		stress	0,1137887	0,145597	663470,96	
	3500-3000	authority	0,0352013	0,624263	1210716,3	
		betweenness	-0,00849	0,905984	1265544,4	
		closeness	0,0643339	0,3703374	1174158,1	
		clustering	0,0288609	0,6880144	1218672,8	
		degree	0,0145318	0,8397954	1236654,1	
		eccentricity	0,0830018	0,2474399	1150731,8	
		eigenvector	0,0420731	0,5582012	1202092,9	
		hub	0,002194	0,9756528	1252136,8	
		indegree	0,0673301	0,3484209	1170398,1	
		outdegree	-0,021063	0,7694969	1281322,2	
		pagerank	0,0031771	0,9647486	1250903	
		radiality	-0,02978	0,6786172	1292261,1	
		status	0,0294345	0,6821467	1217953	
		stress	0,0274769	0,702247	1220409,5	
	3000-2300	authority	0,101916	0,1200134	1917809	
		betweenness	0,0501411	0,4452342	2028371,4	
closeness		0,102065	0,11947	1917490,8		
clustering		0,0057548	0,9302255	2123155,9		
degree*		0,1530826	0,0191294	1808545,5	Positiva débil	
eccentricity		0,0237149	0,7181916	2084803,1		
eigenvector		0,1036692	0,1137396	1914065,1		
hub		0,0899499	0,1702559	1943362		

		indegree*	0,1641087	0,0119369	1785000	Positiva débil	
		outdegree*	0,1353831	0,0385077	1846341,9	Positiva débil	
		pagerank	0,038159	0,5613712	2053958,6		
		radiality*	0,1696455	0,0093209	1773176,4	Positiva débil	
		status*	0,1578443	0,0156579	1798377,2	Positiva débil	
		stress	0,0718525	0,2736648	1982007,9		
	2300-1800	authority	0,092522	0,4025534	89631,603		
		betweenness	0,1666942	0,1296433	82305,618		
		closeness	0,1548721	0,1595281	83473,286		
		clustering	-0,117428	0,287416	110368,39		
		degree	0,0905366	0,4127682	89827,704		
		eccentricity	0,1714917	0,1188129	81831,768		
		eigenvector	0,0321682	0,7714459	95592,745		
		hub	0,0493088	0,656015	93899,774		
		indegree	0,0922765	0,4038086	89655,854		
		outdegree	0,1120462	0,310233	87703,192		
		pagerank	0,1895241	0,0842257	80050,701		
		radiality	0,1861646	0,0899772	80382,519		
		status	0,0924671	0,4028336	89637,02		
		stress	0,1668298	0,1293271	82292,221		
	Adornos totales (n.)	5600-4200	authority	0,0778528	0,6881117	3743,9175	
			betweenness*	0,4376773	0,017574	2283,0303	Positiva moderada
			closeness	0,0573718	0,7675281	3827,0706	
			clustering*	-0,437677	0,017574	5836,9697	Negativa moderada
			degree	0,0734828	0,704819	3761,6598	
eccentricity			0,0972168	0,6158849	3665,2998		
eigenvector			0,0831362	0,6681033	3722,467		
hub			0,0846682	0,6623421	3716,247		
indegree			0,026101	0,8930878	3954,0299		
outdegree			0,0591371	0,7605785	3819,9035		
pagerank		0,0840852	0,6645325	3718,6143			
radiality		0,0566152	0,7705119	3830,1422			
status		0,0726448	0,7080388	3765,0623			
stress*		0,4376773	0,017574	2283,0303	Positiva moderada		
4200-3500		authority	-0,001403	0,9857302	749710,41		
		betweenness	-0,004183	0,9574738	751791,68		
		closeness	0,0761068	0,3312557	691681,86		
		clustering	0,1031499	0,1873594	671435,81		
		degree	0,0144896	0,8534508	737812,2		
		eccentricity	0,0317788	0,6853263	724868,45		
	eigenvector	0,0068822	0,9300892	743507,56			
	hub	-0,004337	0,955907	751907,17			
	indegree	0,0196783	0,8019107	733927,64			
	outdegree	-0,004472	0,9545343	752008,37			
pagerank	-0,028136	0,7197897	769724,47				
radiality	0,0666777	0,39481	698741,07				
status	0,0268815	0,7317973	728534,91				
stress	0,0204596	0,7942178	733342,73				
3500-3000	authority	0,123029	0,0858109	1100502,1			
	betweenness	0,011826	0,8693288	1240049,6			

		closeness*	0,1471983	0,0395111	1070172,3	Positiva débil	
		clustering	0,0204898	0,7756042	1229177,6		
		degree	0,1283379	0,0730276	1093840,1		
		eccentricity	0,0951254	0,1847581	1135518,1		
		eigenvector	0,103414	0,1491879	1125116,8		
		hub	0,0982899	0,1705065	1131547		
		indegree*	0,1523989	0,0329732	1063646,1	Positiva débil	
		outdegree	0,1060602	0,1390009	1121796,1		
		pagerank	-0,000619	0,9931318	1255666,6		
		radiality	0,0935026	0,1923968	1137554,5		
		status*	0,1535754	0,031629	1062169,8	Positiva débil	
		stress	0,0483324	0,5011263	1194238,2		
		3000-2300	authority*	0,1501697	0,0215675	1814765,9	Positiva débil
			betweenness	0,009929	0,879917	2114242,2	
			closeness	0,1226118	0,0611198	1873614,2	
	clustering		0,0603822	0,3578014	2006502,2		
	degree*		0,1872837	0,0040399	1735510,9	Positiva débil	
	eccentricity		0,0777307	0,2362247	1969455,5		
	eigenvector		0,1271182	0,0521363	1863991,1		
	hub*		0,1420167	0,0298689	1832176,1	Positiva débil	
	indegree*		0,2208525	0,0006679	1663826,6	Positiva débil	
	outdegree*		0,1515224	0,0204037	1811877,2	Positiva débil	
	pagerank		-0,019422	0,7675812	2176920,2		
	radiality		0,0891812	0,1739518	1945003,5		
	status*		0,187585	0,00398	1734867,5	Positiva débil	
	stress		0,0272352	0,6785336	2077285,6		
	2300-1800		authority	0,1811529	0,0991291	80877,532	
		betweenness	0,1375429	0,2121584	85184,887		
		closeness*	0,2633562	0,0155023	72758,311	Positiva débil	
		clustering	-0,108886	0,3241646	109524,64		
		degree	0,2029151	0,0641422	78728,079		
		eccentricity*	0,2865767	0,0082214	70464,818	Positiva débil	
		eigenvector	0,1228114	0,2657347	86639,915		
		hub	0,119305	0,2797281	86986,247		
		indegree*	0,2278586	0,0371081	76264,409	Positiva débil	
		outdegree	0,1679392	0,1267629	82182,647		
pagerank		0,1824355	0,0967203	80750,847			
radiality		0,2028565	0,0642207	78733,861			
status		0,2060789	0,0600148	78415,584			
stress		0,1499148	0,1734789	83962,915			
Diversidad de materias primas (n.)		5600-4200	authority	0,2730958	0,1517467	2951,2311	
	betweenness*		0,4341659	0,0186091	2297,2866	Positiva moderada	
	closeness		0,1603592	0,405989	3408,9415		
	clustering*		-0,434166	0,0186091	5822,7134	Negativa moderada	
	degree		0,2175376	0,2569679	3176,7972		
	eccentricity		0,2304042	0,2291904	3124,5591		
	eigenvector		0,2199179	0,2516701	3167,1332		
	hub		0,2677619	0,1602264	2972,8867		
	indegree		0,128544	0,5063405	3538,1115		
	outdegree		0,2996793	0,1142486	2843,3019		
pagerank	0,3442524	0,0674504	2662,3352				

	radiality	0,1683131	0,3827862	3376,649	
	status	0,2218585	0,2474046	3159,2546	
	stress*	0,4341659	0,0186091	2297,2866	Positiva moderada
4200-3500	authority	-0,128244	0,1006757	844671,19	
	betweenness	-0,112561	0,1500212	832929,77	
	closeness	-0,107589	0,1689779	829207,58	
	clustering*	0,1757675	0,0239319	617069,92	Positiva débil
	degree	-0,146538	0,0603596	858367,21	
	eccentricity	-0,12199	0,1185444	839989,01	
	eigenvector	-0,144677	0,0637332	856973,51	
	hub	-0,135144	0,0835046	849836,7	
	indegree*	-0,160833	0,0390473	869069,34	Negativa débil
	outdegree	-0,144881	0,0633554	857126,53	
	pagerank	-0,077137	0,3247322	806409,49	
	radiality	-0,101803	0,1932159	824875,81	
	status	-0,147281	0,0590552	858923,27	
	stress	-0,128405	0,1002448	844791,89	
3500-3000	authority	0,1323648	0,0644	1088786,7	
	betweenness	-0,080295	0,2632478	1355651,5	
	closeness*	0,2008706	0,0047572	1002819,4	Positiva débil
	clustering*	0,155058	0,0300016	1060309,2	Positiva débil
	degree*	0,1857887	0,0091301	1021745,6	Positiva débil
	eccentricity	0,0946124	0,1871482	1136161,8	
	eigenvector	0,1363597	0,0566844	1083773,6	
	hub	0,1155096	0,1069203	1109938,2	
	indegree*	0,2303178	0,0011638	965866,47	Positiva débil
	outdegree	0,1361541	0,057062	1084031,5	
	pagerank	-0,070896	0,3234264	1343856,9	
	radiality*	0,1766344	0,0132652	1033233,2	Positiva débil
	status*	0,2207711	0,0018741	977846,57	Positiva débil
	stress	0,0182635	0,7994382	1231971,4	Positiva débil
3000-2300	authority*	0,1612508	0,013525	1791102,7	Positiva débil
	betweenness	-0,116933	0,0742163	2385148,4	
	closeness	0,0249107	0,7046297	2082249,6	
	clustering*	0,1483785	0,0231966	1818590,8	Positiva débil
	degree*	0,1618872	0,0131562	1789743,9	Positiva débil
	eccentricity	-0,003238	0,9607027	2142360,3	
	eigenvector*	0,1488968	0,0227147	1817484,2	Positiva débil
	hub*	0,1701074	0,0091276	1772189,9	Positiva débil
	indegree*	0,2214719	0,0006444	1662503,9	Positiva débil
	outdegree	0,1157598	0,0771866	1888246,2	
	pagerank	-0,099782	0,1280111	2348523,1	
	radiality	-0,041616	0,5264299	2224313,3	
	status*	0,164597	0,0116826	1783957,2	Positiva débil
	stress	-0,1147	0,0799531	2380380,3	
2300-1800	authority	0,1157797	0,2942837	87334,437	
	betweenness	-0,014176	0,8981643	100170,12	
	closeness*	0,2541925	0,019634	73663,407	Positiva débil
	clustering	0,0167965	0,8794658	97111,011	
	degree	0,1678384	0,1269943	82192,602	
	eccentricity*	0,2821185	0,0093235	70905,152	Positiva débil
	eigenvector	0,079958	0,4696769	90872,553	
	hub	0,0846299	0,4440346	90411,109	
	indegree	0,2097415	0,0555095	78053,827	
	outdegree	0,1151651	0,2968717	87395,147	

	pagerank	0,0967694	0,381207	89212,085
	radiality	0,1157782	0,2942899	87334,582
	status	0,1808148	0,0997717	80910,919
	stress	0,0011139	0,9919765	98659,979

MS 06. Resultados de aplicar la correlación de Rho de Spearman entre las variables “número de adornos verdes”, “número total de adornos” y “diversidad de materias primas” y distintas métricas de nodo de las redes MDN.

Variables	Cronología	Métricas	estimate	p.value	statistic	Correlación
Adornos verdes (n.)	5600-4200	authority	0,164397	0,394113	3392,548	
		betweenness	-0,037160	0,848213	4210,888	
		closeness	-0,088320	0,648679	4418,587	
		clustering	-0,007300	0,97004	4089,618	
		degree	-0,073400	0,705136	4358,005	
		eccentricity	-0,128610	0,506124	4582,153	
		eigenvector	-0,204380	0,287569	4889,772	
		hub	0,241465	0,206984	3079,653	
		indegree	0,060567	0,754961	3814,097	
		outdegree	0,103559	0,592933	3639,552	
		pagerank	-0,041200	0,831967	4227,256	
		radiality	0,303445	0,109551	2828,014	
		status	-0,152700	0,429057	4679,969	
		stress	-0,059700	0,758352	4302,397	
	4200-3500	authority	-0,073080	0,350908	803371,3	
		betweenness	-0,004980	0,949385	752388,1	
		closeness	0,028819	0,713282	727084,2	
		clustering	0,015765	0,840713	736857,1	
		degree	0,011237	0,886091	740247,1	
		eccentricity	0,064145	0,413054	700637,5	
		eigenvector	0,022733	0,771946	731640,6	
		hub	-0,020470	0,794152	763982,3	
		indegree	0,062890	0,42227	701576,8	
		outdegree	-0,043020	0,583258	780866	
		pagerank	0,085519	0,274759	684635	
		radiality	-0,078060	0,318936	807103,3	
		status	-0,006490	0,934038	753520,7	
		stress	-0,006760	0,931312	753722,1	
	3500-3000	authority	0,028692	0,689742	1218884	
		betweenness	-0,013890	0,846803	1272318	
		closeness	0,104106	0,146473	1124249	
		clustering	0,001235	0,986297	1253341	
		degree	0,032107	0,655066	1214600	
		eccentricity	0,096378	0,179016	1133946	
		eigenvector	0,084348	0,239832	1149043	
		hub	0,050391	0,483046	1191654	
		indegree	0,066233	0,356352	1171775	
		outdegree	-0,117460	0,101081	1402292	
		pagerank	-0,002540	0,971834	1258075	
		radiality	-0,049330	0,492321	1316794	
status		0,025172	0,726181	1223302		
stress		0,008790	0,902683	1243860		
3000-2300	authority	0,002858	0,96531	2129341		
	betweenness	-0,061690	0,347427	2267191		
	closeness	0,094312	0,150384	1934047		
	clustering	0,084480	0,197858	1955042		
	degree	0,020909	0,750353	2090794		
	eccentricity	0,059405	0,365646	2008588		
	eigenvector	0,069790	0,287711	1986413		
	hub	-0,010090	0,877949	2156998		

		indegree	0,090221	0,168967	1942783	
		outdegree	-0,117500	0,072817	2386357	
		pagerank	0,069059	0,2928	1987973	
		radiality	-0,121550	0,063407	2395013	
		status	0,018837	0,774396	2095220	
		stress	-0,067530	0,303621	2279658	
	2300-1800	authority	-0,074950	0,498007	106173,2	
		betweenness	0,036366	0,742595	95178,08	
		closeness	0,127770	0,246767	86150,18	
		clustering	-0,018530	0,8671	100600,7	
		degree	-0,053990	0,625701	104102,8	
		eccentricity	0,114754	0,298609	87435,7	
		eigenvector	-0,017030	0,8778	100452,1	
		hub	-0,131240	0,234058	111732,6	
		indegree	-0,048260	0,662858	103537	
		outdegree	-0,073920	0,503968	106071,2	
		pagerank	-0,173950	0,113542	115950,9	
		radiality	-0,002500	0,982004	99016,78	
		status	-0,038100	0,730773	102533,3	
		stress	0,054592	0,621863	93377,99	
	Adornos totales (n.)	5600-4200	authority	-0,129590	0,502869	4586,122
			betweenness	-0,089310	0,645002	4422,599
			closeness	0,112772	0,560266	3602,145
			clustering	0,018692	0,92333	3984,111
degree			-0,187490	0,330083	4821,226	
eccentricity			0,025568	0,895258	3956,193	
eigenvector			-0,198100	0,302956	4864,275	
hub			-0,054970	0,777029	4283,16	
indegree			-0,159480	0,408597	4707,496	
outdegree			0,093750	0,628584	3679,374	
pagerank			-0,195550	0,309333	4853,947	
radiality			0,216280	0,259795	3181,901	
status			-0,147920	0,443805	4660,572	
stress			-0,089570	0,644041	4423,65	
4200-3500		authority	-0,075380	0,335935	805090,8	
		betweenness	0,040702	0,603717	718188,3	
		closeness	0,001722	0,982482	747370,5	
		clustering	0,032639	0,677283	724224,8	
		degree	-0,013910	0,859232	759075,3	
		eccentricity	0,030222	0,69998	726033,9	
		eigenvector	0,012753	0,870852	739112,4	
		hub	-0,001670	0,98302	749910	
		indegree	0,000681	0,993071	748149,9	
		outdegree	0,005837	0,94069	744290,4	
		pagerank	0,030164	0,700526	726077,1	
		radiality	-0,041610	0,595684	779809,5	
status		-0,006510	0,933828	753536,2		
stress		0,042923	0,584095	716525,5		
3500-3000		authority	-0,050890	0,478734	1318749	
		betweenness	-0,099530	0,165169	1379784	
	closeness*	0,166868	0,019407	1045489	Positiva débil	

		clustering	0,039305	0,5844	1205566	
		degree	-0,048300	0,501407	1315502	
		eccentricity*	0,182915	0,010284	1025352	Positiva débil
		eigenvector	0,104865	0,143536	1123297	
		hub	0,012763	0,859076	1238873	
		indegree	0,063448	0,376977	1175270	
		outdegree*	-0,152960	0,03233	1446833	Negativa débil
		pagerank	-0,032450	0,651597	1295614	
		radiality	-0,019720	0,783779	1279642	
		status	-0,049100	0,494329	1316507	
		stress	-0,096130	0,180155	1375519	
	3000-2300	authority	-0,026060	0,691647	2191101	
		betweenness	-0,080700	0,218774	2307765	
		closeness*	0,210792	0,00118	1685309	Positiva débil
		clustering	0,057376	0,382276	2012921	
		degree	0,069905	0,28691	1986166	
		eccentricity*	0,211984	0,001104	1682765	Positiva débil
		eigenvector*	0,184361	0,004664	1741753	Positiva débil
		hub	-0,068290	0,298248	2281266	
		indegree*	0,168674	0,00974	1775251	Positiva débil
		outdegree*	-0,230800	0,000371	2628315	Negativa débil
		pagerank*	0,163795	0,012103	1785671	Positiva débil
		radiality*	-0,164260	0,01186	2486203	Negativa débil
	status	0,086761	0,185974	1950171		
	stress	-0,076900	0,241284	2299661		
	2300-1800	authority	0,108078	0,327789	88095,16	
		betweenness	-0,031160	0,778444	101847,4	
		closeness*	0,248033	0,022913	74271,74	Positiva débil
		clustering	-0,006330	0,954429	99395,2	
		degree	0,127414	0,248095	86185,28	
		eccentricity*	0,215494	0,048995	77485,68	Positiva débil
		eigenvector	0,197661	0,071502	79247,03	
		hub	-0,000290	0,997876	98799,13	
indegree		0,096963	0,380251	89192,98		
outdegree		-0,202360	0,064895	118756,7		
pagerank		-0,006270	0,954828	99389,72		
radiality		-0,139940	0,20422	112592		
status	0,157015	0,153762	83261,6			
stress	-0,001870	0,986525	98954,77			
Diversidad de materias primas (n.)	5600-4200	authority	-0,127440	0,510016	4577,423	
		betweenness	-0,006930	0,971533	4088,142	
		closeness	0,145525	0,451314	3469,17	
		clustering	-0,073150	0,706083	4357,004	
		degree	-0,011240	0,953835	4105,652	
		eccentricity	0,087466	0,651871	3704,89	
		eigenvector	-0,097820	0,613691	4457,144	
		hub	-0,087210	0,652809	4414,09	
		indegree	-0,104320	0,590209	4483,532	
		outdegree	0,063589	0,743136	3801,831	
		pagerank	-0,151830	0,431737	4676,417	
		radiality	0,064343	0,740193	3798,769	
		status	-0,011820	0,95148	4107,984	

	stress	0,039703	0,837975	3898,805	
4200-3500	authority	0,020336	0,795435	733435,3	
	betweenness	0,077409	0,323026	690707,1	
	closeness	-0,148120	0,05761	859551,4	
	clustering	-0,011660	0,881852	757388,2	
	degree	-0,090160	0,249437	816162,1	
	eccentricity	-0,130830	0,093929	846610,3	
	eigenvector	-0,076520	0,328633	805947,1	
	hub	0,108453	0,165562	667465,6	
	indegree*	-0,179900	0,020766	883345,8	Negativa débil
	outdegree*	0,170695	0,028375	620867,7	Positiva débil
	pagerank	-0,148710	0,056611	859993,2	
	radiality	0,050242	0,521609	711046	
	status	-0,096220	0,218897	820698,4	
stress	0,087169	0,265571	683399,7		
3500-3000	authority*	-0,200710	0,00479	1506765	Negativa débil
	betweenness	-0,131290	0,066615	1419645	
	closeness*	0,255672	0,000298	934050,4	Positiva débil
	clustering	0,043690	0,543163	1200064	
	degree	-0,067910	0,344245	1340115	
	eccentricity*	0,295326	0,0000264	884289	Positiva débil
	eigenvector*	0,167093	0,019241	1045207	Positiva débil
	hub	-0,117220	0,1018	1401985	
	indegree	0,055562	0,439235	1185166	
	outdegree*	-0,198420	0,005306	1503882	Negativa débil
	pagerank	-0,037780	0,599072	1302301	
	radiality	-0,099660	0,164615	1379947	
	status	-0,063660	0,375418	1334770	
stress	-0,132010	0,065121	1420550		
3000-2300	authority	0,047418	0,470374	2034187	
	betweenness	-0,091540	0,162797	2330924	
	closeness*	0,229409	0,000404	1645556	Positiva débil
	clustering	0,007479	0,909404	2119475	
	degree	0,060959	0,353218	2005270	
	eccentricity*	0,254343	0,0000833	1592309	Positiva débil
	eigenvector*	0,323225	0,00000432	1445217	Positiva débil
	hub	0,025546	0,697457	2080892	
	indegree*	0,129106	0,048538	1859747	Positiva débil
	outdegree*	-0,211580	0,001129	2587259	Negativa débil
	pagerank	0,104464	0,110982	1912368	
	radiality	-0,087530	0,182078	2322366	
	status	0,064880	0,323055	1996897	
stress	-0,089760	0,171155	2327126		
2300-1800	authority*	0,255713	0,018889	73513,23	Positiva débil
	betweenness	-0,062080	0,574814	104901,5	
	closeness*	0,236863	0,030058	75375,05	Positiva débil
	clustering	0,038957	0,724962	94922,17	
	degree	0,137916	0,21091	85148,05	
	eccentricity*	0,215768	0,048701	77458,61	Positiva débil
	eigenvector*	0,345550	0,001285	64640,04	Positiva débil
	hub	0,141208	0,200111	84822,85	
	indegree	0,082365	0,456365	90634,78	
	outdegree	-0,204650	0,061852	118983,2	
	pagerank	0,043682	0,69318	94455,52	
	radiality	-0,190020	0,083399	117538,5	

	status	0,186598	0,089218	80339,68
	stress	-0,049270	0,656264	103636,5

MS 07. Resultados de aplicar la correlación de Rho de Spearman entre las variables “número de adornos verdes”, “número total de adornos” y “diversidad de materias primas” y distintas métricas de nodo de las redes PPA.